

## مقایسه‌ی الگوهای NOC و Lax-wendroff در حل مسئله‌ی تبادل

### جریان<sup>۱</sup> دو لایه از بین یک تنگ‌شدگی

زنگ صبوری‌شرق (دانشجوی کارشناسی ارشد)

میر مصدق جمالی (دانشیار)

دانشکده‌ی مهندسی عمران، دانشگاه صنعتی شریف

در این تحقیق دو الگوی Lax-Wendroff و NOC در مدل‌سازی پدیده‌ی تبادل جریان دو لایه‌ی غیردائمی مورد مقایسه قرار می‌گیرند. جریان تبادلی در اثر حذف یک مانع از کanal متصل‌کننده در بدنه‌ی سیال با تفاوت چگالی انک، ایجاد می‌شود. پدیده‌های تبادل جریان دو لایه، معمولاً به صورت لایه‌های هموزن سیال غیرگران رو با سرعت‌های عمودی کوچک و قابل اغماض مدل می‌شوند، که در آنها می‌توان توزیع فشار را هیدرواستاتیک فرض کرد و معادلات هیدرولیک یا معادلات آب‌های کم عمق را در هر لایه می‌توان به کار برد. نتایج دو الگو با نتایج آزمایشگاهی Gu (تبادل جریان دو لایه‌ی دائمی در کanalی با عرض و عمق ثابت) و مطالعات عددی Helffrich (تبادل جریان دو لایه‌ی غیردائمی غیرگران رو در کanalی با عرض متغیر) مقایسه شد. نتایج گویای آن است که استفاده از الگوی Lax-wendroff به زمان اجرای کمتر نیاز دارد و مطابقت بیشتری با نتایج آزمایشگاهی نشان می‌دهد، اگرچه اختلاف نتایج دو الگو در حالت‌های مذکور بسیار انک است.

دینامیکی تنگه و قدرت نیروهای باروتروپیک آن. او در مدل‌سازی عددی خود معادلات هیدرولیک جریان را با استفاده از الگوی دومرهلمی Lax-wendroff گسترش سازی کرد. در این نوشتار نیز معادلات هیدرولیک جریان دو لایه با استفاده از دو الگوی مختلف NOC و Lax-Wendroff گسترش سازی و حل شده است و در نهایت نتایج این دو مدل‌سازی با یکدیگر مقایسه شده است.

در ادامه‌ی این بحث توضیح مختصراً از نظریه‌ی هیدرولیک جریان دو لایه ارائه می‌شود و سپس به معرفی دو الگوی به کار رفته در حل مدل خواهیم پرداخت. پس از آن به بررسی و مقایسه‌ی نتایج مدل برای دو الگوی مختلف می‌پردازیم و سپس خلاصه‌ی از موضوعات مورد بحث در این نوشتار و نیز نتیجه‌گیری لازم ارائه شده است.

#### تئوری

سیستمی را در نظر بگیرید که در آن دو لایه سیال هموزن، به وسیله‌ی یک فصل مشترک از هم جدا شده‌اند. با بسط معادلات Schonfeld & Schijf<sup>[۲]</sup> برای تغییرات در عرض و عمق کanal، معادلات پیوستگی و مقدار حرکت<sup>۳</sup> در دو لایه جریان، صرف‌نظر از شتاب عمودی، عبارت اند از:

$$(1) \quad \text{معادله‌ی پیوستگی}$$

$$\frac{\partial a_i}{\partial t} + \frac{\partial(a_i u_i)}{\partial x} = 0 \quad i = 1, 2$$

**مقدمه**  
وقتی دو حجم سیال با چگالی‌های متفاوت از طریق یک تنگه یا کanal به هم مرتبط می‌شوند، در اثر اختلاف چگالی یا اختلاف سطح آب جریان‌هایی بین این دو بدنه آب ایجاد می‌شود. این پدیده «تبادل جریان» نامیده می‌شود و تبادل آب شور مدیترانه با دریای آتلانتیک از طریق تنگه‌ی جبل الطارق و تنگه‌ی باب‌المندب (که اقیانوس هند را به دریای سرخ مرتبط می‌کند) نمونه‌هایی از این جریان هستند. بسیاری از مصاديق مهم تبادل جریان را می‌توان با تصوری «هیدرولیک جریان دو لایه‌ی دائمی» توصیف کرد، اما از این نیروهای باروتروپیک<sup>۴</sup> غیردائمی مانند جزر و مد همیشه قابل اغماض نیستند. تاکنون مطالعات نسبتاً کمی در خصوص پدیده‌ی تبادل جریان دو لایه، با در نظر گرفتن نیروهای غیردائمی انجام شده است. برخی از محققین استفاده از تخمین شبه دائمی را پیشنهاد کرده‌اند که در آن، در هر چرخه‌ی جزر و مد جریان دائمی در نظر گرفته می‌شود.<sup>[۱]</sup> این در حالی است که نتایج دیگر مطالعات به روشنی نشان می‌دهند که در صورت حضور جریان باروتروپیک نوسانی شدید، نظریه‌ی نیمه دائمی فقط در بخش کوچکی از چرخه‌ی جزر و مد قابل استفاده است.<sup>[۲]</sup>

همچنین Helffrich دینامیک جریان غیردائمی تبادل جریان دولایه‌ی غیرگران رو را با اعمال جریان جزر و مدل مشخص بررسی کرده است.<sup>[۳]</sup> که طبق او برای تنگه‌یی با هندسه‌ی مشخص، جریان تبادلی تابعی از پارامترهای بی‌بعد  $\gamma$  و  $q_{lb}$  که به ترتیب مشخص‌کننده‌ی طول

تغییر مکان سطح آزاد جریان قابل اغماص است (تقریب سطح صلب) و بنابراین دبی جریان باروتورپیک ( $q_b$ ) فقط تابعی از زمان خواهد بود:

$$q_b(t) = u_1 a_1 + u_2 a_2 \quad (7)$$

در این نوشتار همانند مطالعه‌ی Helfrich دبی جزر و مد به صورت متناوب و با مقدار متوسط زمانی صفر در نظر گرفته شده است:

$$q_b(t) = q_{b_0} \sin\left(\frac{2\pi t}{T}\right) \quad (8)$$

که در آن  $T$  دوره‌ی تناوب جزرمود است. اگر معادله‌ی مقدار حرکت لایه‌ی جریان بالایی را از لایه‌ی پایینی کم، و  $x$  را با مقیاس طولی ( $L$ )،  $h_1$  را با مقیاس عمق کل ( $b_0$ )،  $h_2$  را با  $H = h_1 + h_2$ ،  $b$  را با مقیاس عرض حداقل کanal ( $b_0$ )،  $u_i$  را با  $\sqrt{g'H}$  و  $t$  را با تناوب جزر و مد ( $T$ ) بی‌بعد کنیم، این ساده‌سازی‌ها به روابط بی‌بعد زیر متنه‌ی می‌شوند:

$$h_1 + h_2 = 1 \quad (9)$$

$$A(x) = a_1 + a_2 = b \quad (10)$$

$$u_2 = \frac{q_b - U a_2}{A} \quad (11)$$

$$u_1 = \frac{q_b + U a_1}{A} \quad (12)$$

$$\frac{\partial a_1}{\partial t} + \gamma \frac{\partial}{\partial x} \left( \frac{a_1 q_b(t) - U a_1 A + U a_1^*}{A} \right) = 0 \quad (13)$$

$$\frac{\partial U}{\partial t} + \gamma \frac{\partial}{\partial x} \left( \frac{U q_b(t) + U^* a_1}{A} - \frac{a_1}{b} - \frac{U^*}{2} \right) = 0 \quad (14)$$

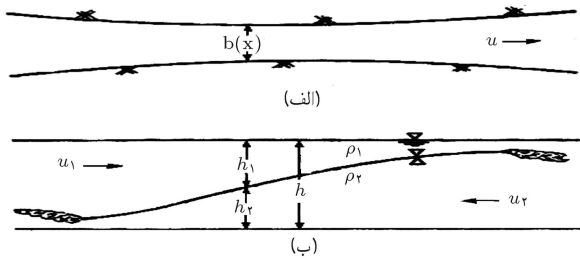
که در آنها  $a_1 = u_1 - u_2$  و  $U = u_2 - u_1$  برش بین لایه‌ها است و

$$\gamma = \frac{\sqrt{g'H} T}{L} \quad (15)$$

$$q_{b_0} = \frac{u_{b_0}}{\sqrt{g'H}} \quad (16)$$

باید توجه داشت که کمیت‌های طرف راست معادلات ۱۵ و ۱۶ بُعد دارند. در رابطه‌ی ۱۶،  $u_{b_0}$  سرعت بُعددار جریان باروتورپیک در منطقه‌یی است که در آن  $A=1$  است. Helfrich با حل روابط ۸، ۱۳ و ۱۴ برای کanalی با هندسه‌ی معین نشان داد که تایج حاصل فقط به پارامترهای بی‌بعد  $\gamma$  و  $q_{b_0}$  بستگی دارند. روابط مذکور هنگامی قابل حل اند که امواج بلند درونی لایه‌ی میانی پایدار باشند. پارامتر پایداری امواج (عدد فرود پایداری<sup>۵</sup>) به صورت رابطه‌ی ۱۷ تعریف می‌شود:

$$F_\Delta^* = \frac{U^*}{g'(h_1 + h_2)} \quad (17)$$



شکل ۱. (الف) نمای جریان در یک تنگ شدگی از بالا؛ (ب) مقطع طولی آن در تبادل جریان دو لایه. [۵]

(۲) معادله‌ی مقدار حرکت

$$\rho_i \left( \frac{\partial u_i}{\partial t} + u_i \frac{\partial u_i}{\partial x} \right) + \frac{\partial P_i}{\partial x} = 0 \quad i = 1, 2$$

که در آنها  $t$  و  $x$  متغیرهای زمان و مکان،  $a_i = b(x)h_i$  مساحت لایه‌ی  $i$  از جریان و  $u_i$ ،  $P_i$ ،  $h_i$  و  $\rho_i$  به ترتیب سرعت، عمق لایه، فشار و چگالی لایه‌ی  $i$  هستند که در شکل ۱ نیز نمایش داده شده‌اند.  $b$  عرض کanal است که به صورت تابعی از  $x$  مشخص می‌شود و اندیس‌های ۱ و ۲ به ترتیب به لایه‌های بالایی و پایینی جریان اشاره دارند، و سرعت در راستای  $x$  مثبت در نظر گرفته می‌شود. با فرض هیدروستاتیک بودن جریان، فشار هر یک از لایه‌ها را می‌توان از روابط ۳ و ۴ محاسبه و در رابطه‌ی ۲ جایگزین کرد:

$$P_1 = \rho_1 g(h_1 + h_2) \quad (3)$$

$$P_2 = g(\rho_1 h_1 + \rho_2 h_2) \quad (4)$$

در این صورت معادله‌ی مقدار حرکت (رابطه‌ی ۲) برای لایه‌های ۱ و ۲ جریان به صورت رابطه‌ی ۵ نوشته می‌شود:

$$\frac{\partial u_1}{\partial t} + \frac{\partial}{\partial x} \left[ \frac{u_1^*}{2} + g(h_1 + h_2) \right] = 0 \quad (5)$$

$$\frac{\partial u_2}{\partial t} + \frac{\partial}{\partial x} \left[ \frac{u_2^*}{2} + g(h_1(1 - \epsilon) + h_2) \right] = 0 \quad (5)$$

در این روابط  $\rho_2 - \rho_1$  اختلاف چگالی نسبی لایه‌ها است. جریان دو لایه نیز مانند جریان تک لایه توسط نقاط کنترل مشخص می‌شود. در نقاط کنترل، عدد فرود مرکب<sup>۶</sup> ( $G^*$ ) برابر ۱ است: [۵]

$$G^* = F_1^* + F_2^* - \epsilon F_1^* F_2^* \quad (6)$$

که در آن  $F_i^* = u_i^*/(g'h_i)$  عدد فرود درونی لایه‌ی  $i$  از جریان و  $\epsilon = g'/g$  شتاب نقل تقلیل‌یافته است. از آنجا که تفاوت چگالی بین لایه‌ها کم فرض شده است، می‌توانیم برای ساده‌تر کردن روابط تقریب بوزینسک ( $\rho_2 \approx \rho_1$ ) را در نظر بگیریم؛ به این ترتیب که در رابطه‌ی مقدار حرکت از تغییرات  $\rho$  در عبارت اینرسی صرف نظر می‌کنیم. بنابراین

## معرفی الگوهای به کار رفته در حل معادلات جریان دولایه

### Lax - Wendroff الگوی

الگوی دو مرحله‌ی Lax - Wendroff از دقت درجه‌ی دو در زمان و مکان برخوردار است و قابلیت مدل کردن پیشرفت و انتشار شوک‌های را که ممکن است به طور طبیعی در جریان‌های دولایه رخ بدهند، دارد. این الگو برای معادله‌ی  $\partial u / \partial t = -\partial F(u) / \partial x$  در حالت کلی به شکل زیر است:

$$\begin{aligned} u_{i+1/2}^{n+1/2} &= \frac{1}{\gamma}(u_{i+1}^n + u_i^n) - \frac{\Delta t}{2\Delta x}(F_{i+1}^n - F_i^n) \\ , u_i^{n+1} &= u_i^n - \frac{\Delta t}{\Delta x}(F_{i+1/2}^{n+1/2} - F_{i-1/2}^{n+1/2}) \end{aligned} \quad (19)$$

ملحوظه‌ی شود که فرم معادلات جریان دولایه نیز به همین شکل است و می‌توان معادلات ۱۳ و ۱۴ را با استفاده از این الگوی سازی کرد. به این ترتیب که در رابطه‌ی ۱۳  $u = a_1$  و  $-u = a_1 q_b(t)$  در رابطه‌ی ۱۴  $U = U_a A + U_a^2 A / A$  و در رابطه‌ی  $U = U^2 a_1 / A - U^2 / 2$  است. در این الگو ابتدا مقدار متغیر در نیم‌گام زمانی و مکانی محاسبه می‌شود، سپس با استفاده از مقدار متغیر در نیم‌گام‌ها در دو نقطه‌ی مجاور، مقدار تابع در گام بعدی محاسبه می‌شود. شکل ۲ روند محاسبه در این الگو را نشان می‌دهد.

شرط پایداری الگوی Lax - Wendroff عبارت است از: [۷]

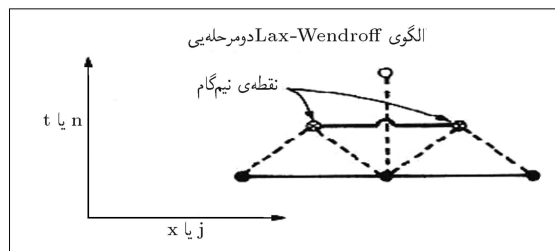
$$C \frac{\Delta t}{\Delta x} \leq 1 \quad C = \sqrt{g/H} \quad (20)$$

که بعد از بی‌بعدسازی خواهیم داشت:

$$\frac{\Delta t}{\Delta x} \leq \frac{1}{\gamma} \quad (21)$$

### NOC الگوی

الگوی NOC الگویی با دقت درجه‌ی دو در مکان و زمان است که در واقع بسط الگوی قدیمی Lax-Friedrichs است. روند محاسبه در این الگو چنین است که اگر معادلات پیوستگی و مقدار حرکت بی‌بعد



شکل ۲. روند محاسبه در الگوی Lax-Wendroff. [۷]

هنگامی که  $1 \leq F_\Delta^2$  باشد، امواج بلند پایدارند و برای  $1 < F_\Delta^2$  سرعت‌های فاز درونی موهومی آند و امواج بلند ناپایدار می‌شوند. [۵] معادلات نهایی حاکم بر جریان با استفاده از دو الگوی زیرگیسته و حل می‌شوند. در اینجا مشابه مطالعه Helffrich عبارت  $vU_{xx}$  به سمت راست معادله‌ی ۱۴ اضافه شده است که در آن  $1/v \leq \Delta t \leq \Delta x$  عددی ثابت است. اضافه کردن این عبارت، که یک نیروی اصطکاکی مجازی را در هر لایه منظور می‌کند، به منظور کنترل رشد عدد موج در مناطقی که امکان مواجهه با ناپایداری امواج وجود دارد، صورت گرفته است. در محدوده‌ی انتخاب شده برای  $v$  تغییرات آن تأثیر قابل توجهی روی نتایج مدل نمی‌گذارد.

### شرایط مرزی

در این تحقیق شرایط مرزی مسئله در مرز باز  $x = \pm\infty$ ، به صورت شرط تنشی  $\varphi$  در نظر گرفته شده‌اند. تعریف «شرایط مرزی باز»<sup>۷</sup> برای اطمینان از این موضوع است که امواج سطح تماس و اغتشاشات جریان، همراه جریان فوق بحرانی لایه‌ی نازک‌تر از منطقه خارج می‌شوند و محیط محاسباتی را ترک می‌کنند. بر مبنای شرط تنشی، در دو انتهای دامنه داریم:

$$\varphi_t - c\varphi_x = 0 \quad (18)$$

که در آن  $U = a_1$  و  $c$  سرعت موج است. سرعت موج در مرز سمت راست مشبّت، و در مرز سمت چپ منفی است. این موضوع نشان‌دهنده‌ی جهت حرکت امواج سطح تماس است که در حال خارج شدن از محدوده‌ی مورد مطالعه‌اند. برای گیسته‌سازی معادلات شرط مرزی از یک الگوی پیشنهادی که از دقت درجه‌ی دو در زمان و مکان برخوردار است، استفاده شد. [۶]

### شرایط اولیه

شرایط جریان در لحظه‌ی  $t = 0$  برابر عمق و سرعت جریان لایه‌ها در حالت دائمی در نظر گرفته می‌شود. برای محاسبه‌ی پارامترهای مذکور باید معادلات هیدرولیک سیال دولایه برای حالت دائمی ( $q_{b0} = 0$ ) را حل کرد. در حل دائمی برای  $q_b = 0$ ، مقدار بی‌بعد سرعت لایه‌ها در محل تنگ‌شدگی  $u_i = \pm 0.5$  و مقدار بی‌بعد دبی تبادل معادل  $q_{is} = u_i a_i = \pm 0.25$  است. اندیس  $s$  نشان‌دهنده‌ی دائمی بودن<sup>۸</sup> جریان است. [۵] برای حالت نشان داده شده در شکل ۱،  $q_1 = 0$  مشبّت و  $q_2 = 0$  منفی‌اند. بعد از محاسبه‌ی اعماق و سرعت‌های جریان در لایه، سطح مقطع لایه‌ی اول و تفاوت سرعت دولایه‌ی جریان در هر نقطه، در زمان  $t = 0$  محاسبه شده و به عنوان شرایط اولیه در مدل مورد استفاده قرار می‌گیرند.

تیلور محاسبه می‌شود. به منظور رسیدن به دقت درجه دو در زمان، از قانون نقاط میانی در زمان استفاده می‌کنیم. در نتیجه خواهیم داشت:

$$\bar{w}_{j+1/2}^{n+1} = \frac{1}{2}(\bar{w}_{j+1/4}^n + \bar{w}_{j+3/4}^n) - \frac{\Delta t}{\Delta x}(f_{j+1}^{n+1/2} + f_j^{n+1/2}) + \frac{\Delta t}{2}(s_{j+1/4}^{n+1/2} + s_{j+3/4}^{n+1/2}) \quad (27)$$

همان‌طور که در شکل ۳ نشان داده شده است، مقادیر  $\bar{w}_{j+1/4}^n$  و  $\bar{w}_{j+3/4}^n$  طبق رابطه‌ی ۲۶ از روی سلول‌های زام و  $1 + \text{زام}$  محاسبه می‌شوند، یعنی:

$$\bar{w}_{j+1/4}^n = \bar{w}_j^n + \frac{1}{4}\bar{w}'_j, \quad \bar{w}_{j+3/4}^n = \bar{w}_{j+1}^n - \frac{1}{4}\bar{w}'_{j+1} \quad (28)$$

شار عبوری ( $f$ ) در نقاط یک چهارم<sup>۱۰</sup> سلول ( $x_j, t^{n+1/2}$ ) و از برون‌یابی رابطه‌ی تیلور در زمان بدست می‌آید:

$$\bar{w}_j^{n+1/2} = \bar{w}_j^n + \frac{\Delta t}{2}(\partial \bar{w} / \partial t)_j^n \quad f_j^{n+1/2} = f(\bar{w}_j^{n+1/2}) \quad (29)$$

به همین ترتیب عبارت‌های مربوط به چشمی و چاه (s) در نقاط یک‌چهارم سلول ( $x_{j+1/2}, t^{n+1/2}$ ) و ( $x_{j+3/4}, t^{n+1/2}$ ) از برون‌یابی رابطه‌ی تیلور در زمان و مکان به دست می‌آیند:

$$\begin{aligned} s_{j+1/4}^{n+1/2} &= s(\bar{w}_{j+1/4}^n), \\ \bar{w}_{j+1/4}^{n+1/2} &= \bar{w}_j^n + \frac{\Delta t}{2}(\partial \bar{w} / \partial t)_j^n + \frac{1}{4}\bar{w}'_j, \\ s_{j+3/4}^{n+1/2} &= s(\bar{w}_{j+3/4}^n), \\ \bar{w}_{j+3/4}^{n+1/2} &= \bar{w}_{j+1}^n + \frac{\Delta t}{2}(\partial \bar{w} / \partial t)_{j+1}^n + \frac{1}{4}\bar{w}'_{j+1}, \end{aligned} \quad (30)$$

که در این رابطه‌ها مقدار  $(\partial \bar{w} / \partial t)_j^n$  با استفاده از رابطه‌ی ۲۴ محاسبه می‌شود:

$$(\partial \bar{w} / \partial t)_j^n = -(\partial f / \partial x)_j^n + s_j^n = -A_j \bar{w}_j / \Delta x + s_j^n \quad (31)$$

که در آن  $(\partial f / \partial x)_j^n = f'_j / \Delta x$  است.

**مقایسه‌ی نتایج مدل برای دو الگو**  
مدل در کانالی با عرض مقطع زیر اجرا شد:

$$b(x) = 1 + 4(1 - e^{-\beta^* x^*}) \quad (32)$$

که در آن  $\beta = 1/0.73$  است و در  $b=2$ ،  $x = \pm 0/5$  است.

را بصورت رابطه‌های ۲۲ و ۲۳ داشته باشیم:

$$\frac{\partial h}{\partial t} + \frac{\partial}{\partial x}(hu) = 0 \quad (22)$$

$$\frac{\partial(hu)}{\partial t} + \frac{\partial}{\partial x}(hu^2 + \beta_x h^2/2) = hs_x \quad (23)$$

که در آن‌ها  $h$  عمق آب،  $u$  سرعت جریان، و  $\beta_x$  و  $s_x$  ضرایب معادله‌اند که در اثر بی‌بعدسازی به دست آمده‌اند و در اینجا بنا به اختصار از توصیف کامل آنها خودداری می‌کنیم.<sup>[۸]</sup> با تعریف پارامتر  $m = hu$  می‌توانیم رابطه‌های ۲۲ و ۲۳ را ادغام کرده و به صورت رابطه‌ی ۲۴ بنویسیم:

$$w_t + f_x = s \quad (24)$$

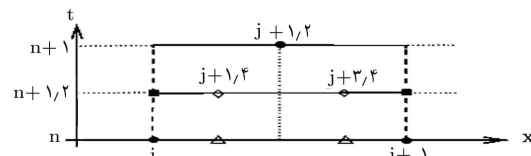
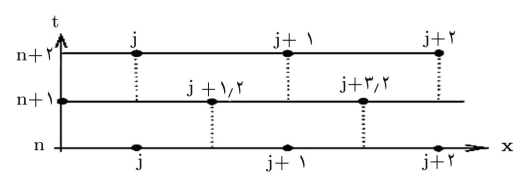
که در آن

$$w = \binom{h}{m}, \quad f = \binom{m}{m^2/h + \beta_x h^2/2} \quad (25)$$

با در نظر گرفتن  $w = (h, m)^T$  به عنوان متغیرهای پایه،  $\bar{w}_j^n$  نشان‌دهنده‌ی مقدار متوسط متغیر در گام مکانی  $[x_{j-1/2}, x_{j+1/2}]$  و در زمان  $t^n$  خواهد بود و داریم:

$$\bar{w}(x, t^n) = \bar{w}_j^n + \frac{x - x_j}{\Delta x} \bar{w}'_j \quad (26)$$

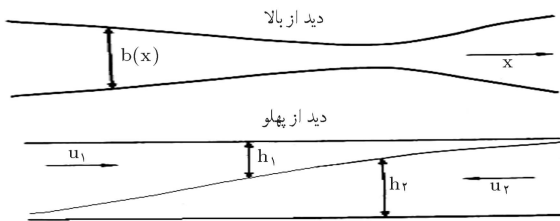
که در این رابطه  $\bar{w}'_j$  مشتق متوسط سلول<sup>۹</sup> محاسباتی است. مهم‌ترین تفاوت الگوی NOC با سایر الگوهای استاندارد روش تقاضلهای محدود، در متناظر بودن نقاط شبکه‌ی آن است. در زمان  $t^{n+1}$  در  $t^n + \Delta t$ ، مقدار متوسط تابع در سلول محاسباتی  $\bar{w}_{j+1/2}^{n+1}$  روی گام مکانی  $[x_j, x_{j+1}]$  محاسبه می‌شود (شکل ۳). مرزهای سلول‌ها در گام زمانی جدید عبارت خواهند بود از مرکز سلول‌ها در گام زمانی قبلی یعنی نقاط  $x_j$  و  $x_{j+1}$ . در این نقاط مقدار مقدار چندجمله‌ی رابطه‌ی ۲۶ در گام زمانی قبلی ( $t^n$ ) موجود است. بنابراین شار عبوری از مرزهای سلول‌ها در گام زمانی جدید، با استفاده از برون‌یابی رابطه‌ی



شکل ۳. روند محاسبه در الگوی Lax-Wendroff

از یک تناوب جزر و مد بعد از رسیدن به حل تناوبی جریان ( $t=2, 2, 25, 2, 5, 2, 75$ ) برای دو الگوی به کار رفته نشان می‌دهد. در این شکل ها  $\Delta x = 0, 125$ ,  $v = 0, 1$ ,  $\gamma = 4$ ,  $q_b = 1$  است. سطح تماس به همراه جریان با روتور پیک بالا و پایین می‌رود. در شکل ب و د موجی با دامنه کوچک در لایه‌ی بالایی و پایینی جریان دیده می‌شود که وقتی جریان با روتور پیک فرو می‌نشیند، از تنگه خارج می‌شود. چنان‌که ملاحظه می‌شود نتایج مدل برای دو الگو برابر هم منطبق است.

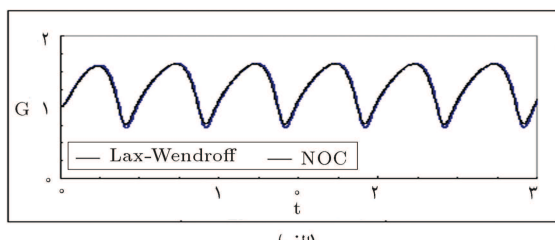
در شکل ۶ الف تغییرات زمانی عدد فرود مرکب جریان در حالت قبل نشان داده شده است. حل تناوبی معمولاً بعد از یک دوره حاصل می‌شود. چنان‌که ملاحظه می‌شود جریان فقط به طور لحظه‌یی بحرانی می‌شود ( $G^* = G$ ). تقریباً به صورت سینوسی،



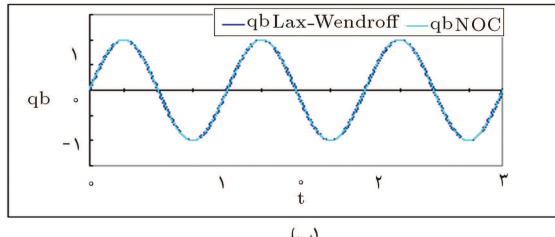
شکل ۴. نمایی از هندسه‌ی کانال. [۲]

مقیاس طولی کانال  $L=1$  و دوره‌ی تناوب جزر و مد  $T=1$  در نظر گرفته شده است. شکل ۴ نمایی از هندسه‌ی کانال را نشان می‌دهد که در آن لایه‌ی بالایی جریان، از چپ به راست حرکت می‌کند و لایه‌ی پایینی از راست به چپ جریان دارد.

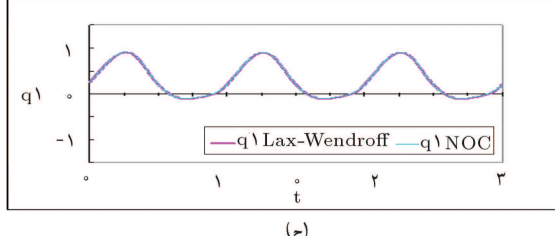
شکل ۵ محل سطح تماس دو لایه را در چهار مرحله‌ی زمانی



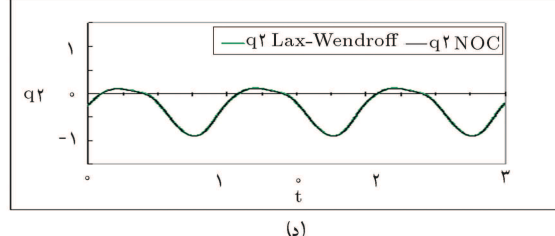
(الف)



(ب)

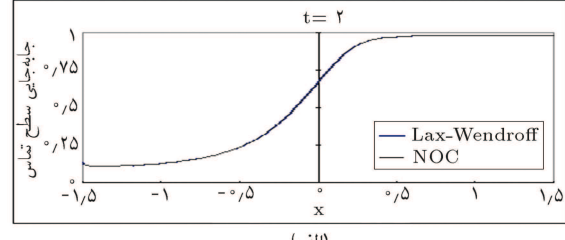


(ج)

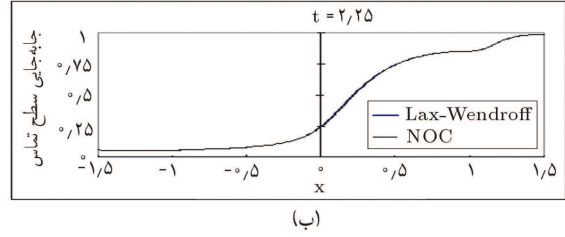


(د)

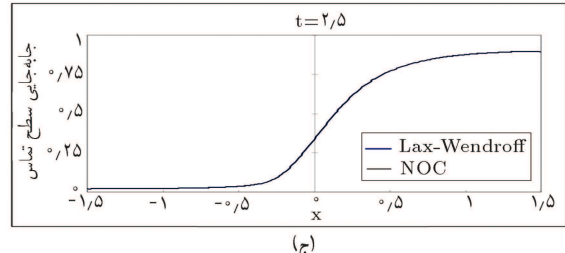
شکل ۶. الف) تغییرات زمانی عدد فرود مرکب جریان؛ ب) مقدار دبی جزر و مد ج) و د) دبی هر یک از لایه‌های جریان در حالت ۱،  $q_b = 1$ ،  $q_b = 1$ ،  $\gamma = 4$ ،  $\Delta x = 0, 125$ ،  $v = 0, 1$  و  $\Delta t = 0, 005$



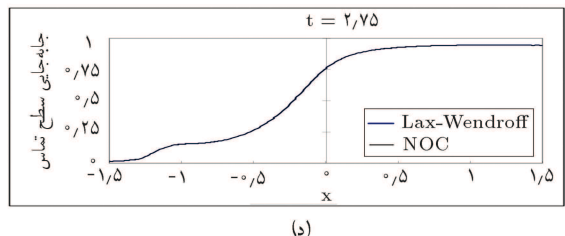
(الف)



(ب)

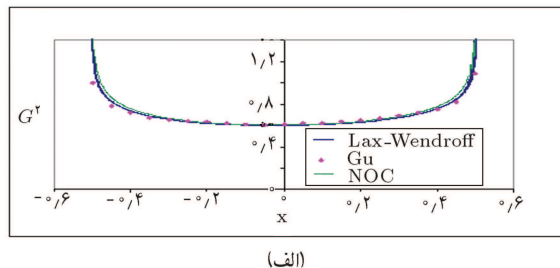


(ج)

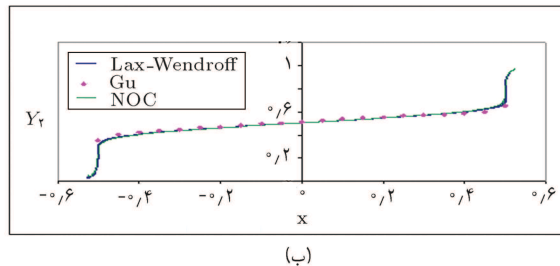


(د)

شکل ۵. سطح تماس دو لایه در چهار مرحله زمانی از یک تناوب جزر و مد ( $t=2, 2, 25, 2, 5, 2, 75$ ) برای دو الگو در حالت ۱،  $q_b = 1$ ،  $\gamma = 4$ ،  $\Delta x = 0, 125$  و  $\Delta t = 0, 005$



(الف)

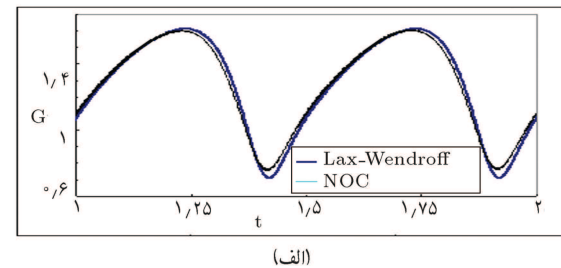


(ب)

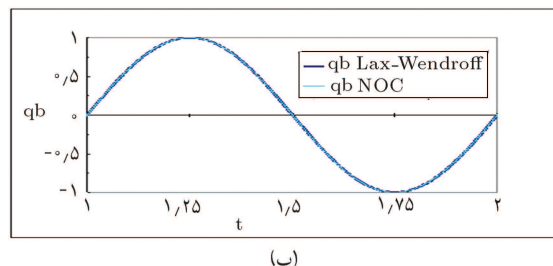
شکل ۹. (الف) تغییرات زمانی عدد فرود مرکب جریان؛ ب) محل سطح تسامس دولایه: در کanalی با عرض و عمق ثابت و مقایسه‌ی آن با نتایج آزمایشگاهی موجود.<sup>[۶]</sup>

مشاهده می‌شود در شرایط مدل‌سازی یکسان، نتایج الگوی Lax-wendroff مطابقت بیشتری با نتایج آزمایشگاهی موجود<sup>[۶]</sup> نشان می‌دهد. اما اختلاف نتایج دو الگو در این حالت بسیار کم است به طوری که میانگین مقادیر خطای حل عددی نسبت به مقادیر اندازه‌گیری شده در آزمایشگاه برای الگوی NOC برابر حدود  $1/6$  درصد و برای الگوی Lax-wendroff برابر  $1/4$  درصد است.

علاوه بر این، با اجرای مدل برای حالت‌های مختلف هندسه‌ی کanal (تغییر  $\gamma$ ) و مقادیر مختلف دبی جزر و مدل ( $q_b$ )، مشاهده شد که زمان اجرای مدل برای الگوی Lax-wendroff کوتاه‌تر از الگوی NOC است، زیرا برای جلوگیری از تاپیدارشدن مدل، در شرایط یکسان، در الگوی NOC به انتخاب گام‌های زمانی ( $\Delta t$ ) بسیار کوچک‌تری از الگوی Lax-wendroff نیازمندیم. اما در عوض، الگوی NOC برخلاف الگوی Lax-wendroff قادر به حل معادلات جریان در حالت‌هایی است که شدت جریان‌های بازوتروپیک (جزرودم) بسیار شدید ( $|q_b|$  زیاد) یا طول تنگه خیلی کوتاه ( $\gamma$  زیاد) است. به طور کلی در شرایطی که شدت نیروهای جزرودم خیلی زیاد نباشد ( $|q_b| \leq 1/25$ ) یا طول تنگه به اندازه‌ی کافی زیاد باشد ( $\gamma \leq 16$ )، استفاده از الگوی Lax-wendroff توصیه می‌شود. اما در شرایط شدید بودن نیروهای جزرودمی ( $|q_b| > 1/25$ ) یا کوتاه بودن طول تنگه ( $\gamma < 16$ ) استفاده از الگوی NOC نتایج بهتر و دقیق‌تری در برخواهد داشت. برای مشاهده‌ی بهتر اختلاف نتایج دو الگو در شکل‌های ۱۰ الف و ۱۰ ب، بازه‌ی محدودتری از هریک از این شکل‌ها در شکل‌های ۱۰ الف و



(الف)



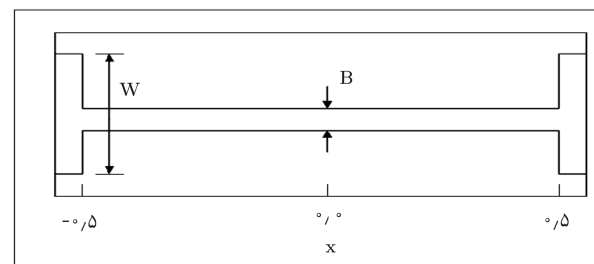
(ب)

شکل ۷. (الف) تغییرات زمانی عدد فرود مرکب جریان؛ ب) مقدار دبی جزر و مدل در حالت  $1 = v$ ،  $0 = \gamma$ ،  $125 = t$  و  $0.0005 = \Delta x$  (بازه‌ی محدودتری از شکل‌های ۱۰ الف و ۱۰ ب).

با فرکانسی معادل دو برابر فرکانس جزر و مدل، حول  $G = 1$  نوسان می‌کند. در شکل ۶ ب تغییرات مقدار دبی جزر و مدل ( $qb$ ) و در شکل‌های ۶ ج و ۶ د دبی هریک از لایه‌های جریان دو لایه ( $q1, q2$ ) در محل تنگ‌شده‌گی به صورت تابعی از زمان رسم شده است. مشاهده می‌شود که فرم تغییرات دبی لایه‌ها تقریباً سینوسی است. در این نمودارها نیز اختلاف قابل توجهی بین نتایج دو الگو مشاهده نمی‌شود.

برای مشاهده‌ی بهتر اختلاف نتایج دو الگو در شکل‌های ۱۰ الف و ۱۰ ب، بازه‌ی محدودتری از هر یک از این شکل‌ها در شکل‌های ۷ الف و ۷ ب آمده است.

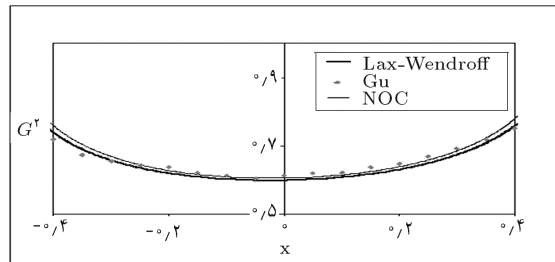
برای مقایسه‌ی بهتر نتایج دو الگو، مدل برای کanalی با عرض ثابت که با یک بازشده‌گی ناگهانی به مخزن متصل می‌شود (شکل ۸) اجرا شده و نتایج حاصله با نتایج آزمایشگاهی موجود<sup>[۶]</sup> مقایسه شده است. نتایج این اجرا در شکل ۹ آمده است. در این شکل  $1 = \Delta t$ ،  $0.0001 = \Delta x$ ،  $0.000025 = qb$ ،  $0.5 = \gamma$  و  $1 = q_b$  است. چنان‌که



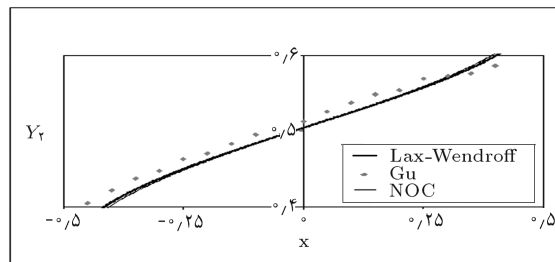
شکل ۸. نمای کanal مورد آزمایش برای مقایسه‌ی نتایج الگوها (از بالا).

عرض مقطع  $b(x) = 1 + 4(1 - e^{-\beta^2 x^2})$  و نیز کانالی با عرض ثابت اجرا شده و اثر نیروهای باروتورپیک (جزرومدمی) روی دبی متوسط جریان تبادلی در یک چرخهٔ جزرومدم بررسی شده است. دبی جزرومدم به صورت متناوب و با مقدار متوسط زمانی صفر در نظر گرفته شده است. شرایط مرزی مسئله در دو مرز باز، به صورت شرط تشعشع و شرایط اولیهٔ جریان در لحظهٔ  $t=0$  برابر عمق و سرعت جریان لایه‌ها در حالت دائمی در نظر گرفته شده‌اند.

مقایسهٔ نتایج اجرای مدل با دو الگوی مختلف نشان می‌دهد که استفاده از الگوی Lax-Wendroff به زمان اجرای کمتری نیاز دارد و در حل برخی از مسائل هیدرولیک سیال دولایه مطابقت بیشتری با نتایج آزمایشگاهی نشان می‌دهد، اگرچه اختلاف نتایج دو الگو در حالت‌های مذکور بسیار اندک است. در مثال انجام شده، میانگین مقادیر خطای حل عددی نسبت به مقادیر اندازه‌گیری شده در آزمایشگاه برای الگوی NOC حدوداً برابر  $1/6$  درصد و برای الگوی Lax-Wendroff  $1/4$  درصد است. در عوض الگوی NOC برخلاف الگوی Lax-Wendroff قادر به حل معادلات جریان در حالت‌هایی از جریان  $q_{b0} < 0$  است که شدت جریان‌های باروتورپیک (جزرومدم) بسیار شدید (۰,۶ زیاد) و یا طول تنگهٔ خیلی کوتاه ( $\gamma$  زیاد) است. به طور کلی در شرایطی که شدت نیروهای جزرومدم خیلی زیاد نباشد ( $|\gamma| \leq 1/25$ ) یا طول تنگه به اندازهٔ کافی زیاد باشد ( $\gamma \leq 1/6$ )، استفاده از الگوی Lax-Wendroff توصیه می‌شود. اما در صورت شدید بودن نیروهای جزرومدمی ( $|\gamma| > 1/25$ ) یا کوتاه بودن طول تنگه ( $\gamma > 1/6$ ) استفاده از الگوی NOC نتایج بهتر و دقیق‌تری در برخواهد داشت.



(الف)



(ب)

شکل ۱۰. (الف) تغییرات زمانی عدد فرود مرکب جریان؛ (ب) محل سطح تماس دو لایه در کانالی با عرض و عمق ثابت و مقایسهٔ آن با نتایج آزمایشگاهی موجود (بازه‌ی محدودتری از شکل‌های ۹ (الف) و ۹ (ب)).<sup>[۴]</sup>

### نتیجه‌گیری

در این تحقیق کاربرد الگوهای NOC و Lax-Wendroff روی حل معادلات هیدرولیک سیال دولایه از طریق تهیه یک مدل عددی مقایسه شده است. هر دو الگو از دقت درجه‌ی دو در مکان و زمان برخوردارند. مدل برای کانالی با تنگ شدگی تدریجی در عرض با رابطه‌ی

### پانوشت

1. exchange flow
2. barotropic
3. momentum
4. composite froude number
5. stability froude number
6. radiation condition
7. open boundary condition
8. steady
9. cell
10. quadrature points

### منابع

1. Armi, L. & Farmer, D., "Maximal two-layer exchange flow through a contraction with barotropic net flow", *J. Fluid Mech.* **164**, pp. 27-51 (1986).
2. Geyer, W.R., "Time-dependent, two-layer flow
- over a sill", *The Physical Oceanography of Sea Straits*. L. J. Pratt, Ed., NATO/ASI Series, Kluwer Academic, pp. 421-432 (1990).
3. Helffrich, K. R., "Time-dependent two-layer hydraulic exchange flows", *J. Phys. Oceanog.* **25**, pp. 359-373 (1995).
4. Schijf, J. & Schonfeld, J., "Theoretical considerations on the motion of salt and fresh water", In Proc. of the Minn. Int. Hydraulics Conv., Joint meeting IAHR and Hyd. Div., ASCE, pp. 321-333 (1953).
5. Lawrence, G., "On the hydraulics of Boussinesq and non-Boussinesq two-layer flows", *J. Fluid Mech.* **215**, pp. 457-480 (1990).
6. Orlanski, I., "A simple boundary condition for

- unbounded hyperbolic flows”, *J. Comput. Phys.* **21**, pp. 251-269 (1976).
7. Press, W., Flannery, B., Teukolsky, S. & Vetterling, W., “Numerical Recipes”, Cambridge University Press (1986).
8. Y. C. Tai et al., “Shock-Capturing and Front-Tracking Methods for Granular Avalanches”, *J. Comput. Phys.* **175**, pp. 269-301 (2002).
9. Gu, L., “Frictional exchange flow through a wide channel with application to the Burlington Ship Canal”, PhD thesis, Dept. of Civil Engineering, University of British Columbia (2001).